

# ዕለት ስራ ለሰው ጤና ማስጠበቅ የሚያስፈልጉትን ስራ ለማድረግ

በሰው ጤና ለማስጠበቅ የሚያስፈልጉትን ስራ ለማድረግ  
 በሰው ጤና ለማስጠበቅ የሚያስፈልጉትን ስራ ለማድረግ  
 በሰው ጤና ለማስጠበቅ የሚያስፈልጉትን ስራ ለማድረግ

## ሰው ጤና

የሰው ጤና ለማስጠበቅ የሚያስፈልጉትን ስራ ለማድረግ  
 የሰው ጤና ለማስጠበቅ የሚያስፈልጉትን ስራ ለማድረግ  
 የሰው ጤና ለማስጠበቅ የሚያስፈልጉትን ስራ ለማድረግ  
 የሰው ጤና ለማስጠበቅ የሚያስፈልጉትን ስራ ለማድረግ

የሰው ጤና ለማስጠበቅ የሚያስፈልጉትን ስራ ለማድረግ  
 የሰው ጤና ለማስጠበቅ የሚያስፈልጉትን ስራ ለማድረግ  
 የሰው ጤና ለማስጠበቅ የሚያስፈልጉትን ስራ ለማድረግ  
 የሰው ጤና ለማስጠበቅ የሚያስፈልጉትን ስራ ለማድረግ

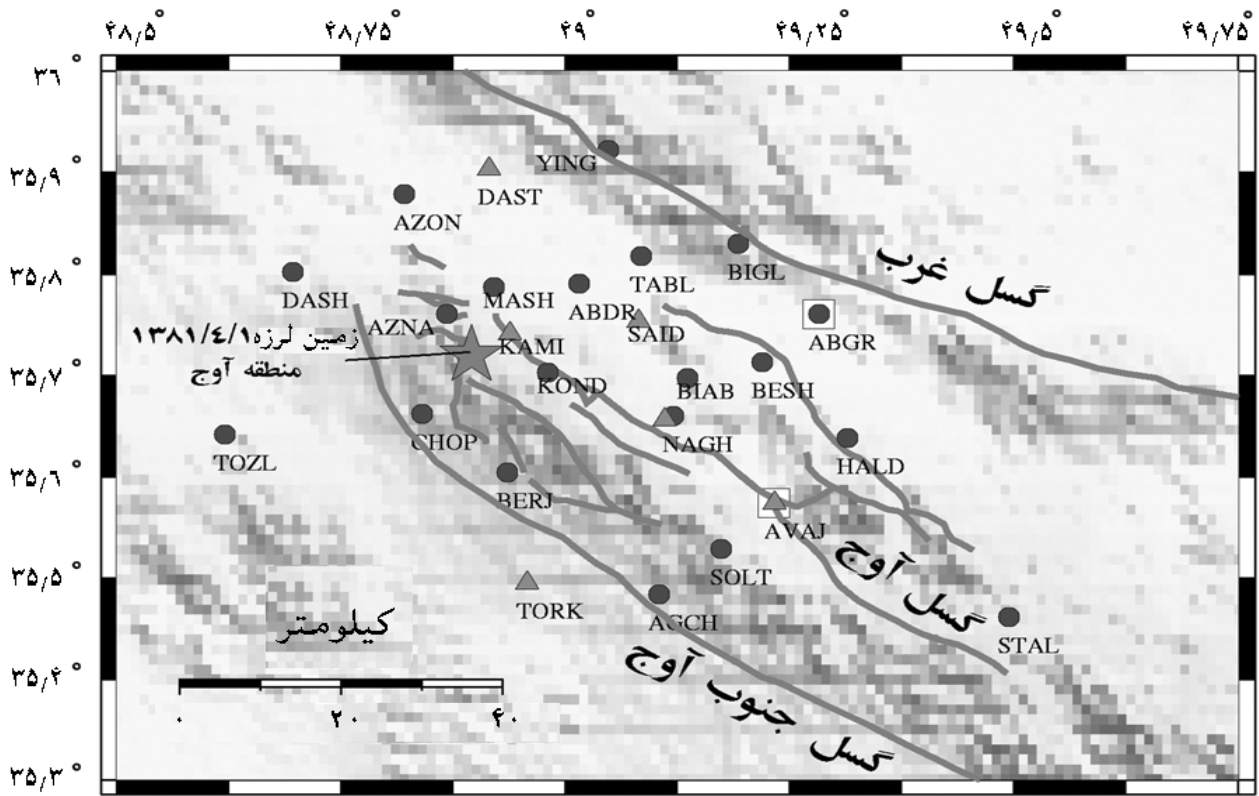
## ሰው ጤና

የሰው ጤና ለማስጠበቅ የሚያስፈልጉትን ስራ ለማድረግ  
 የሰው ጤና ለማስጠበቅ የሚያስፈልጉትን ስራ ለማድረግ  
 የሰው ጤና ለማስጠበቅ የሚያስፈልጉትን ስራ ለማድረግ  
 የሰው ጤና ለማስጠበቅ የሚያስፈልጉትን ስራ ለማድረግ

የሰው ጤና ለማስጠበቅ የሚያስፈልጉትን ስራ ለማድረግ  
 የሰው ጤና ለማስጠበቅ የሚያስፈልጉትን ስራ ለማድረግ  
 የሰው ጤና ለማስጠበቅ የሚያስፈልጉትን ስራ ለማድረግ  
 የሰው ጤና ለማስጠበቅ የሚያስፈልጉትን ስራ ለማድረግ





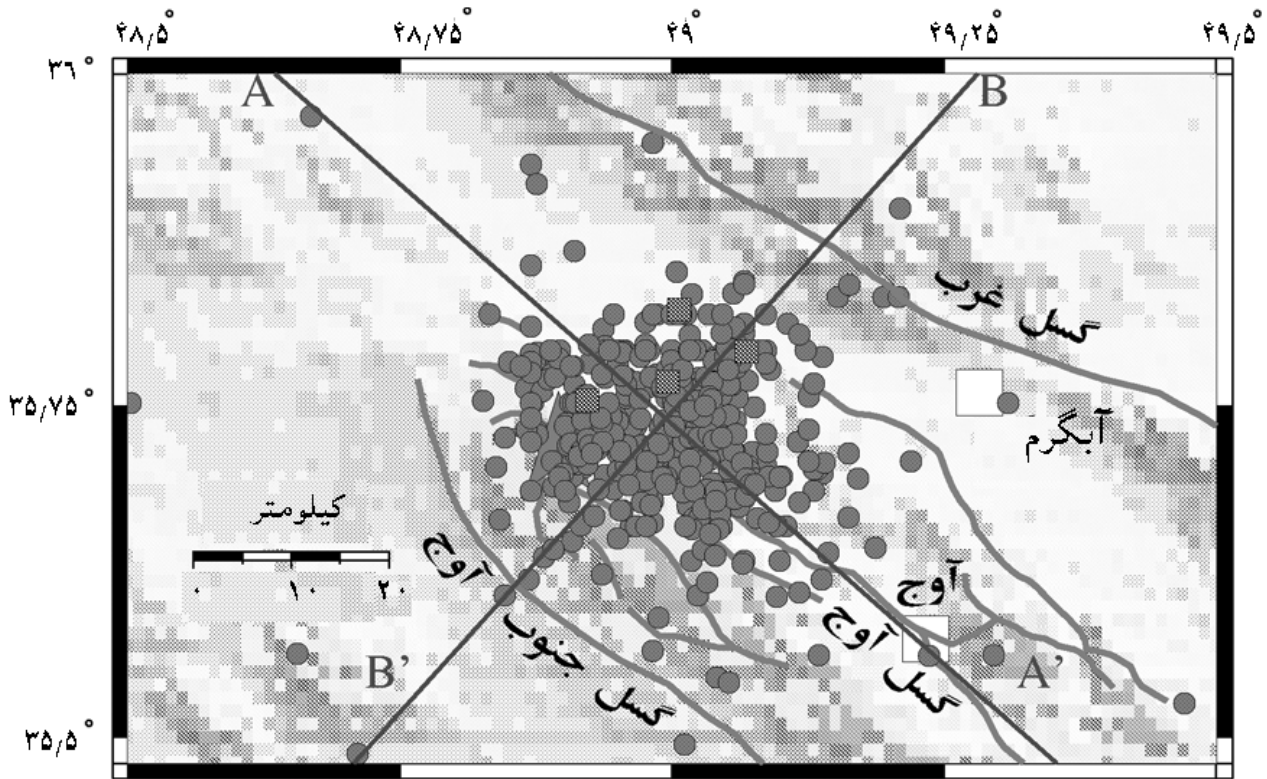


۱- نقشه ایستگاه‌های لرزه‌نگاری در منطقه آوج  
 ۲- نقشه ایستگاه‌های لرزه‌نگاری در منطقه آوج  
 ۳- نقشه ایستگاه‌های لرزه‌نگاری در منطقه آوج  
 ۴- نقشه ایستگاه‌های لرزه‌نگاری در منطقه آوج

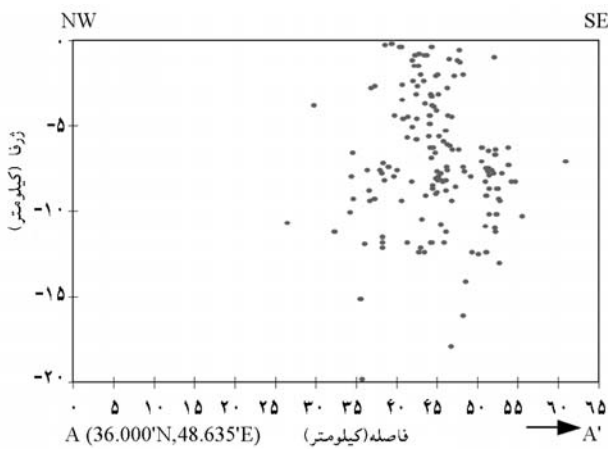
در این مطالعه، برای تعیین پارامترهای لرزه‌نگاری، از روش همبستگی متقاطع (CCT) استفاده شده است. این روش به دلیل دقت بالا و قابلیت تشخیص تغییرات کوچک در سیگنال‌ها، برای تحلیل داده‌های لرزه‌نگاری بسیار مناسب است. در ادامه، نتایج حاصل از این روش برای ایستگاه‌های مختلف در منطقه آوج ارائه خواهد شد.

در این بخش، نتایج حاصل از تحلیل داده‌های لرزه‌نگاری برای ایستگاه‌های مختلف در منطقه آوج ارائه خواهد شد. ابتدا، نتایج برای ایستگاه‌های YING و DAST ارائه می‌گردد. نتایج نشان می‌دهد که در این ایستگاه‌ها، تغییرات کوچکی در پارامترهای لرزه‌نگاری مشاهده شده است. در ادامه، نتایج برای ایستگاه‌های AZON و DASH ارائه می‌گردد. نتایج نشان می‌دهد که در این ایستگاه‌ها، تغییرات کوچکی در پارامترهای لرزه‌نگاری مشاهده شده است. در ادامه، نتایج برای ایستگاه‌های MASH و ABDR ارائه می‌گردد. نتایج نشان می‌دهد که در این ایستگاه‌ها، تغییرات کوچکی در پارامترهای لرزه‌نگاری مشاهده شده است. در ادامه، نتایج برای ایستگاه‌های TABL و BIGL ارائه می‌گردد. نتایج نشان می‌دهد که در این ایستگاه‌ها، تغییرات کوچکی در پارامترهای لرزه‌نگاری مشاهده شده است. در ادامه، نتایج برای ایستگاه‌های KAMI و SAID ارائه می‌گردد. نتایج نشان می‌دهد که در این ایستگاه‌ها، تغییرات کوچکی در پارامترهای لرزه‌نگاری مشاهده شده است. در ادامه، نتایج برای ایستگاه‌های BIAB و BESH ارائه می‌گردد. نتایج نشان می‌دهد که در این ایستگاه‌ها، تغییرات کوچکی در پارامترهای لرزه‌نگاری مشاهده شده است. در ادامه، نتایج برای ایستگاه‌های TOZL و CHOP ارائه می‌گردد. نتایج نشان می‌دهد که در این ایستگاه‌ها، تغییرات کوچکی در پارامترهای لرزه‌نگاری مشاهده شده است. در ادامه، نتایج برای ایستگاه‌های KOND و NAGH ارائه می‌گردد. نتایج نشان می‌دهد که در این ایستگاه‌ها، تغییرات کوچکی در پارامترهای لرزه‌نگاری مشاهده شده است. در ادامه، نتایج برای ایستگاه‌های HALD و AVAJ ارائه می‌گردد. نتایج نشان می‌دهد که در این ایستگاه‌ها، تغییرات کوچکی در پارامترهای لرزه‌نگاری مشاهده شده است. در ادامه، نتایج برای ایستگاه‌های BERJ و SOLT ارائه می‌گردد. نتایج نشان می‌دهد که در این ایستگاه‌ها، تغییرات کوچکی در پارامترهای لرزه‌نگاری مشاهده شده است. در ادامه، نتایج برای ایستگاه‌های TORK و AGCH ارائه می‌گردد. نتایج نشان می‌دهد که در این ایستگاه‌ها، تغییرات کوچکی در پارامترهای لرزه‌نگاری مشاهده شده است. در ادامه، نتایج برای ایستگاه‌های STAL ارائه می‌گردد. نتایج نشان می‌دهد که در این ایستگاه‌ها، تغییرات کوچکی در پارامترهای لرزه‌نگاری مشاهده شده است.

در این بخش، نتایج حاصل از تحلیل داده‌های لرزه‌نگاری برای ایستگاه‌های مختلف در منطقه آوج ارائه خواهد شد. ابتدا، نتایج برای ایستگاه‌های YING و DAST ارائه می‌گردد. نتایج نشان می‌دهد که در این ایستگاه‌ها، تغییرات کوچکی در پارامترهای لرزه‌نگاری مشاهده شده است. در ادامه، نتایج برای ایستگاه‌های AZON و DASH ارائه می‌گردد. نتایج نشان می‌دهد که در این ایستگاه‌ها، تغییرات کوچکی در پارامترهای لرزه‌نگاری مشاهده شده است. در ادامه، نتایج برای ایستگاه‌های MASH و ABDR ارائه می‌گردد. نتایج نشان می‌دهد که در این ایستگاه‌ها، تغییرات کوچکی در پارامترهای لرزه‌نگاری مشاهده شده است. در ادامه، نتایج برای ایستگاه‌های TABL و BIGL ارائه می‌گردد. نتایج نشان می‌دهد که در این ایستگاه‌ها، تغییرات کوچکی در پارامترهای لرزه‌نگاری مشاهده شده است. در ادامه، نتایج برای ایستگاه‌های KAMI و SAID ارائه می‌گردد. نتایج نشان می‌دهد که در این ایستگاه‌ها، تغییرات کوچکی در پارامترهای لرزه‌نگاری مشاهده شده است. در ادامه، نتایج برای ایستگاه‌های BIAB و BESH ارائه می‌گردد. نتایج نشان می‌دهد که در این ایستگاه‌ها، تغییرات کوچکی در پارامترهای لرزه‌نگاری مشاهده شده است. در ادامه، نتایج برای ایستگاه‌های TOZL و CHOP ارائه می‌گردد. نتایج نشان می‌دهد که در این ایستگاه‌ها، تغییرات کوچکی در پارامترهای لرزه‌نگاری مشاهده شده است. در ادامه، نتایج برای ایستگاه‌های KOND و NAGH ارائه می‌گردد. نتایج نشان می‌دهد که در این ایستگاه‌ها، تغییرات کوچکی در پارامترهای لرزه‌نگاری مشاهده شده است. در ادامه، نتایج برای ایستگاه‌های HALD و AVAJ ارائه می‌گردد. نتایج نشان می‌دهد که در این ایستگاه‌ها، تغییرات کوچکی در پارامترهای لرزه‌نگاری مشاهده شده است. در ادامه، نتایج برای ایستگاه‌های BERJ و SOLT ارائه می‌گردد. نتایج نشان می‌دهد که در این ایستگاه‌ها، تغییرات کوچکی در پارامترهای لرزه‌نگاری مشاهده شده است. در ادامه، نتایج برای ایستگاه‌های TORK و AGCH ارائه می‌گردد. نتایج نشان می‌دهد که در این ایستگاه‌ها، تغییرات کوچکی در پارامترهای لرزه‌نگاری مشاهده شده است. در ادامه، نتایج برای ایستگاه‌های STAL ارائه می‌گردد. نتایج نشان می‌دهد که در این ایستگاه‌ها، تغییرات کوچکی در پارامترهای لرزه‌نگاری مشاهده شده است.



شکل ۱: نقشه منطقه مورد مطالعه با نشان‌دهنده محل‌های نمونه‌برداری. خطوط AA' و BB' خطوط مقطعی هستند. واحد: متر (Scale: 0-2 Kilometers).



شکل ۲: پراکنش نقاط نمونه‌برداری در فضای ارتفاع-فاصله. محور عمودی ارتفاع (کیلومتر) و محور افقی فاصله (کیلومتر) است. نقطه A (36.000°N, 48.635°E) به عنوان مرجع در نظر گرفته شده است.

در این مطالعه، جهت‌گیری و عمق نمونه‌برداری در طول خطوط مقطعی AA' و BB' انجام شد. نتایج نشان داد که در عمق‌های کم، تغییرات شیمیایی در طول خطوط مختلف مشاهده شد. همچنین، در عمق‌های بیشتر، همبستگی‌های قوی‌تری بین نقاط مختلف در طول خطوط AA' و BB' مشاهده شد. این یافته‌ها می‌تواند به درک بهتر فرآیندهای زمین‌شناختی در این منطقه کمک کند.











